

تصفیه فاضلاب مصنوعی آلوده به فرمالدیید به وسیله راکتور متواالی ناپیوسته بی هوای بیوفیلمی

مهندی فرزاد کیا: دانشیار، گروه مهندسی بهداشت محیط، دانشکده بهداشت، دانشگاه علوم پزشکی ایران، تهران، ایران

سهند جرفی: دانشجوی دوره دکترا، گروه بهداشت محیط و حرفه ای، دانشکده علوم پزشکی دانشگاه تربیت مدرس، تهران، ایران - نویسنده رابط: sahand359@yahoo.com

مریم اصطبار: کارشناس ارشد، گروه مهندسی محیط زیست، واحد علوم و تحقیقات اهواز، اهواز، ایران

تاریخ دریافت: ۱۳۸۸/۵/۴ تاریخ پذیرش: ۱۳۸۸/۱۲/۱۸

چکیده

زمینه و هدف: فرمالدیید یکی از مواد شیمیایی آلوی است که کاربرد بسیار گسترده ای به عنوان ماده خام در بسیاری از صنایع دارد. پساب های خروجی صنایعی که حاوی غلظت های بالایی فرمالدیید می باشند، به دلیل خطرات احتمالی سرطان زایی و جهش زایی آن باید تصفیه شوند. هدف از این مطالعه تعیین کارآیی راکتور متواالی ناپیوسته بی هوای بیوفیلمی Anaerobic sequence batch biofilm reactor(ASBRR) در تجزیه زیستی فرمالدیید می باشد.

روش کار: یک راکتور متواالی ناپیوسته بی هوای بیوفیلمی در مقیاس آزمایشگاهی به حجم کل ۶ لیتر در این مطالعه مورد استفاده قرار گرفت. کارآیی راکتور طی ۹ مرحله از بار آلوی ورودی معادل ۰/۵۴ kgCOD/m³.d به ۰/۵۴ kgCOD/m³.d بررسی شد.

نتایج: بهترین بازده حذف در بار آلوی kgCOD/m³.d معادل ۰/۵۴ به میزان ۹۴ درصد برای COD و ۹۹ درصد برای فرمالدیید و کمترین بازده در بار آلوی kgCOD/m³.d به مقدار ۴۸ درصد برای COD و ۶۳/۱ درصد برای فرمالدیید به دست آمد.

نتیجه گیری: نتایج این مطالعه نشان می دهد که راکتور متواالی ناپیوسته بی هوای بیوفیلمی می تواند به عنوان یک فناوری اجرایی، کارآمد و قابل اعتماد برای تصفیه فاضلاب های صنعتی آلوده به فرمالدیید به کار گرفته شود.

واژگان کلیدی: فرمالدیید، راکتور متواالی ناپیوسته بی هوای بیوفیلمی، تصفیه فاضلاب

مقدمه

عنوان یکی از مواد خام استفاده می کنند، ممکن است غلظت های بالایی از فرمالدئید در گستره ۰/۲ تا ۱۰ گرم بر لیتر یافت شود (Pereira and Zaiat 2009). چنین پساب غنی از فرمالدیید می تواند مانع از فعالیت میکروبی در واحد زیستی تصفیه فاضلاب شود (Gonzalez-Gil et al. 1999). فرمالدیید می تواند به صورت مستقیم با RNA و DNA پروتئین ها واکنش داده، ضمن آسیب رساندن به سلول به مرگ میکرووارگانیزم ها منجر شود (Moteleb et al. 2002). به دلیل اثرات جهش زایی و

در بسیاری از فعالیت های صنعتی، فرمالدیید به عنوان ماده کلیدی تولید رزین های مصنوعی، محصولات کاغذی، رنگ، کالاهای چوبی، اتیلن گلیکول و دارو مورد استفاده قرار می گیرد. همچنین فرمالدیید به عنوان یک ماده گندزدا جهت کشتن باکتری و قارچ مورد استفاده قرار گرفته است (Priya et al. 2009). سازمان حفاظت محیط زیست امریکا، فرمالدیید را به عنوان یک سرطان- زای احتمالی معرفی کرده است (Moustafa et al. 2002). در پساب خروجی صنایعی که از فرمالدیید به

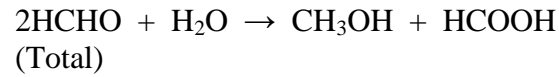
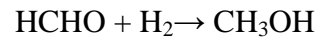
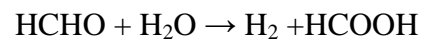
مشکل از اسیدهای چرب فرار مورد مطالعه قرار دادند. تجزیه قابل توجه فرمالدیید در حضور ماده غذایی محرك Omil et al. 1999 متوالیسم همراه به ویژه استات مشاهده شد (Priya and Zaiat 2009). پریا و همکاران حذف فرمالدیید با بار آلی ۰/۱۸-۳/۶۱ kg COD/m³.d روبه بالا بررسی کردند. بازده حذف به ترتیب در محدوده ۲۴ الی ۹۲ درصد بود (Priya et al. 2009). پریا و همکاران (2009) حذف فرمالدیید را در یک راکتور متواالی ناپیوسته بی هوازی بیوفیلمی در غلظت های mg/L ۹۹-۱۱۰۴/۴-۳۱/۶ ببررسی کردند. بیشترین بازدهی حذف ۹۹ درصد بود (Pereira and Zaiat 2009). راکتور های مبتنی بر فیلم میکروبی برای تصفیه پساب های حاوی مواد آلی کند تجزیه پذیر و مقاوم به تجزیه، قابلیت مناسبی دارند. تشییت میکروارگانیزم ها به عنوان بیوفیلم منجر به حفظ مقادیر قابل توجهی جرم سلولی فعال می شود که به نوبه خود قابلیت راهبری سیستم را در بارگذاری های آلی و هیدرولیکی بالا افزایش می دهد. بیوفیلم چسبیده به عنوان یک بافر برای کاهش غلظت ترکیبات سمی در حین بهره برداری فرایند عمل می کند و لذا قادر به تصفیه پساب های صنعتی حاوی مواد مقاوم به تجزیه ای زیستی می باشد (Gonzalez et al. 2009). هدف از این مطالعه تعیین قابلیت تجزیه زیستی فرمالدیید به وسیله یک راکتور ناپیوسته متواالی بی هوازی بیوفیلمی (ASBRR) در مقادیر بار آلی بالا و بیش از مقادیر به کار رفته در مطالعات مشابه و مشاهده عملکرد سیستم در شرایط انجام این پژوهش بود.

روش کار

راکتور ناپیوسته متواالی بی هوازی بیوفیلمی در مقیاس آزمایشگاهی (Leonardo et al. 2007): راکتور ناپیوسته متواالی بی هوازی بیوفیلمی شامل یک استوانه به قطر ۲۰ و ارتفاع ۷۰ سانتیمتر با حجم کل ۶ لیتر بود (شکل ۱). ۰/۵ لیتر پایین راکتور به منظور انجام واکنش زیستی و ۱/۵ لیتر بالای آن جهت تجمع بیوگاز در نظر

سرطانزایی احتمالی فرمالدیید، تخلیه آن به اکوسیستم های آبی بدون تصفیه قبلی می تواند آسیب های جدی به جانداران موجود در آن اکوسیستم وارد کند (Pereira Lars-Flemming et al. ; and Zaiat 2009 (2007). روش های تصفیه بی هوازی به دلیل مصرف انرژی کم و مقدار لجن تولیدی اندک به عنوان یک روش عملی برای تجزیه ترکیبات سمی نظیر فرمالدیید مدنظر قرار گرفته اند. محققان قابلیت تجزیه ای زیستی فرمالدیید را به کمک روش های بی هوازی تایید کرده اند (Oliveira et al. 2004; Eiroa et al. 2005).

نتایج مطالعات مختلف نشان می دهد که فرمالدیید به وسیله روش های بی هوازی کاملاً قابل حذف است، ولی مقادیر قابل توجهی اکسیژن مورد نیاز بیوشیمیابی (COD) در پساب خروجی باقی می ماند که به دلیل تشکیل ترکیبات واسطه نظیر اسید فرمیک و متانول بنابر رابطه زیر است (Priya et al. 2009):



در مطالعات متعددی، فرمالدیید به عنوان تنها منبع کربن به وسیله انواع راکتور های بی هوازی نظیر راکتور متواالی ناپیوسته بی هوازی بستر ثابت (Pereira and Zaiat 2009)، راکتور بستر آکنده جریان رو به بالا (Priya et al. 2009)، صافی چکنده بی هوازی (Prado et al. 2006)، راکتور بی هوازی لایه لجن رو به بالا (Vidal et al. 1999) و راکتور بی هوازی بستر گسترد (Gonzalez-Gil et al. 1999) در غلظت ها و شرایط بهره برداری گوناگون تصفیه شده است. در بیشتر این مطالعات، تجزیه ای موفقیت آمیز زیستی فرمالدیید در صورت تغذیه ای پیوسته راکتور و کاربرد زمان ماند بالای سلولی، گزارش شده است. امیل و همکاران تجزیه زیستی فرمالدیید را در شرایط بی هوازی بررسی کردند. آنها تجزیه فرمالدیید با بار ۰/۶ g COD / g VSS.d را در هاضم های ناپیوسته در حضور و عدم حضور ماده غذایی محرك متابولیسم همراه

ترتیب ۳۵ درصد در روز صفر، ۴۰ درصد در روز دهم، ۵۰ درصد در روز بیستم، ۶۰ درصد در روز سی ام، ۷۵ درصد در روز چهلم، ۹۰ درصد در روز پنجم‌اهم، ۹۵ درصد در روز شصتم و ۱۰۰ درصد در روز ۶۳ بود. در انتهای روز ۶۳ کل COD ورودی به راکتور ناشی از فرمالدیید بود. غلظت مواد معلق فرار (VSS) در انتهای این دوره به ۲۸۹۵ میلی‌گرم بر لیتر رسید. سپس این میدیا و لجن خودهی شده به راکتور ناپیوسته متوالی بی‌هوایی بیوفیلمی منتقل شد.

فاضلاب مصنوعی: راکتور با فاضلاب مصنوعی حاوی فرمالدیید به عنوان منبع کربن و محیط معدنی تغذیه شد. فرمالدیید از یک محلول ۶۵ درصد فرمالین و ۱۰ درصد متانول به عنوان عامل ثبیت کننده تهیه گردید. این مخلوط مایع به منظور ثابت نگه داشتن خصوصیات فاضلاب مصنوعی در ۴ درجه سلسیوس نگه داشته شده و پیش از تزریق به راکتور تا دمای ۲۵ درجه سلسیوس حرارت داده شد. راکتور در دمای اتاق در محدوده ۲۷-۲۲ درجه سلسیوس راهبری گردید. مقادیر مورد استفاده برای تهیه فاضلاب مصنوعی، با توجه به درجه خلوص ترکیبات در جدول ۱ نشان داده شده است.

راهبری راکتور: راهبری راکتور ناپیوسته متوالی بی‌هوایی بیوفیلمی در غلظت های COD افزایشی ۵۰۰، ۱۰۰۰، ۱۵۰۰، ۲۰۰۰، ۲۵۰۰، ۳۵۰۰، ۴۵۰۰ و ۶۵۰۰ میلی گرم بر لیتر (بار آلی ۰/۵۴ الی ۰/۷۰۹) طی ۹ فاز انجام شد. در هر مرحله راکتور تا زمان دستیابی به شرایط پایدار مورد راهبری قرار می گرفت و سپس غلظت COD ورودی به میزان مورد نظر افزایش می یافت. شرایط پایدار به صورت عدم بروز تغییرات بیش از ۵-۷ درصدی در نتایج راهبری و عملکردی راکتور طی ۵ الی ۱۰ روز راهبری پیوسته راکتور تعریف شد. مراحل یک چرخه کامل به ترتیب شامل پر کردن (۰/۳ ساعت)، واکنش و اختلاط (۲۲ ساعت)، ته نشینی (۱/۴ ساعت) و سکون (۰/۳ ساعت) و تخلیه بود. زمان یک چرخه کامل ۲۴ ساعت بود. طی ۲۷۶ روز راهبری راکتور و با کسر چرخه های تکمیل نشده به دلایل نقص فنی، در مجموع ۲۵۸ چرخه

گرفته شد. به منظور تأمین بستر نیاز رشد چسبیده میکروارگانیزم‌ها، ۴۵ درصد از حجم مؤثر راکتور به وسیله یک میدیا تجاری ویژه به نام لانه زنبوری از جنس پلی استایرن با سطح ویژه m^3/m^3 ۶۵۰ پر شد. این میدیا درون یک سبد استوانه ای سیمی در درون راکتور جاگذاری گردید. در محور مرکزی این استوانه سیمی یک شفت عمودی قرار داشت که به یک موتور خارجی با دور rpm ۱۵ متصل بود و سبد سیمی را به صورت دورانی در درون راکتور می چرخاند. یک پروانه به قطر ۴ سانتی‌متر در قسمت های فوقانی راکتور جاگذاری شد که به مدت ۱۵ دقیقه پس از تزریق فاضلاب عمل اختلاط مکانیکی راکتور را میسر می‌ساخت. قسمت های مختلف این راکتور به منظور کنترل شرایط دمایی و نفوذ هوا به شدت به وسیله چسب‌های ضد آب درزبندي گردید. همچنین یک لوله خروج گاز مجهز به شیر کنترل یک طرفه در سقف راکتور تعبیه شده بود که به صورت خودکار و بنابر علامت های ارسالی از حس گاز درون راکتور، گاز مازاد را تخلیه می کرد. کمیت بیوگاز تولیدی خروجی از لوله تخلیه گاز مطابق روش ذکر شده در بخش ۱-۵-۲ اندازه گیری شد.

بذر میکروبی: به منظور تأمین میکروارگانیزم های مورد نیاز برای راه اندازی راکتور، ۱۰ لیتر لجن فعال از یک واحد بستر لجن بی‌هوایی رو به بالا که فاضلاب صنایع لبنیاتی را تصفیه می کرد به آزمایشگاه منتقل شد. این لجن به مدت دو هفته به طور کامل با ۲۰۲۵ لیتر میدیا مخلوط شد. در این مدت مخلوطی از اسید استیک (۶۵ درصد) و فرمالدیید (۳۵ درصد) با COD مجموع ۵۰۰ میلی گرم بر لیتر به همراه عناصر معدنی ضروری به طور روزانه به یک محفظه درزبندي بی‌هوایی دارای اختلاط اضافه شد. به تدریج از غلظت اسید استیک کاسته و به غلظت فرمالدیید آن افزوده گردید. در هر مرحله با افزایش بازده حذف COD، نسبت به افزایش غلظت COD ناشی از فرمالدیید در مرحله بعدی اقدام شد. نسبت های فرمالدیید افزایشی در مرحله خودهی به

بار آلی d . $kgCOD/m^3$ ۱/۶۳ بیش از ۹۰ درصد و معادل ۹۱/۹ درصد (انحراف معیار $\pm ۵/۰۲$) بود. بازده حذف فرمالدیید تا بار آلی d . $kgCOD/m^3$ ۲/۱۸ بیش از ۹۰ درصد و معادل ۹۳/۴ درصد (انحراف معیار $\pm ۳/۱۵$) بود. با افزایش تدریجی بار آلی بازده راکتور کاهش یافته و در بار آلی معادل d . $kgCOD/m^3$ ۷/۰۹ به ۴۸ درصد برای COD (انحراف معیار $\pm ۵/۸۹$) و ۶۳/۱ درصد برای فرمالدیید (انحراف معیار $\pm ۵/۳۲$) رسید.

نتایج بازده حذف COD و فرمالدیید در مراحل VSS مختلف، غلظت TSS پساب خروجی و غلظت TSS بخش معلق در جدول ۲ نشان داده شده است. نتایج TSS پساب خروجی نشان می دهد که راکتور به طور کل کارآیی بسیار مطلوبی در تولید پسابی با کیفیت مناسب جامدات معلق خروجی دارد. TSS پساب خروجی تا بار آلی mg/L ۶/۰۰۱ کمتر از مقدار استاندارد $kgCOD/m^3.d$ ۱۰۰ تخلیه پساب های صنعتی به منابع آبی می باشد.

بیوگاز تولیدی: حجم بیوگاز تولیدی طی هر سیکل واکنش و اختلاط به مدت ۲۲ ساعت به طور روزانه پایش گردید. شکل ۴ روند تولید بیوگاز در بارگذاری های آلی مختلف را نشان می دهد. حجم بیوگاز تولیدی تا بار آلی d . $kgCOD/m^3$ ۴/۹ یک روند افزایشی طی کرده و در بارهای آلی بیشتر حجم گاز تولیدی کاهش یافته است. بیشترین حجم بیوگاز تولیدی در بار آلی d . $kgCOD/m^3$ ۴/۹ به میزان mL/d ۱۹۰۰ تعیین گردید.

بحث

نتایج نشان می دهد که بازده حذف COD و فرمالدیید به موازات افزایش بار آلی کاهش می یابد. روند کاهش کیفیت پساب به لحاظ COD سریع تر از فرمالدیید رخ می دهد و به طور کلی بازده حذف فرمالدیید بالاتر بوده است (شکل ۳). این امر با توجه به دلایل زیر قابل توجیه است که اولاً در آزمایش COD کلیه مواد قابل اکسیداسیون اعم از فرمالدیید و غیره مورد ارزیابی قرار می گیرند و ثانیاً در فرایند تجزیه بی هوازی مواد آلی، ترکیبات واسطه ای

کامل سپری شد. COD محلول خروجی، TSS پساب خروجی، VSS معلق درون راکتور، کمیت بیوگاز، pH و دما به طور دائم در این مدت مورد سنجش قرار گرفت. با توجه به فشار بخار فرمالدیید، افت این ترکیب در نتیجه فراریت در مراحل مختلف ۲ الی ۶ درصد بود که باید مد نظر قرار گیرد.

روش های آزمایشگاهی: غلظت COD به روش رفلکس برگشتی باز، TSS و VSS بخش معلق به روش وزن سنجی حرارتی بنابر روش های استاندارد (APAH 2005)، دما به وسیله ترمومتر و pH به روش الکترومتری اندازه گیری شدند. pH سیستم به وسیله یک pH متر دیجیتال با مارک Hach به طور دائم اندازه گیری گردید. حجم گاز تولیدی به کمک یک فلومتر به طور دائم اندازه گیری می شد. غلظت فرمالدیید به روش رنگ سنجی با استفاده از دستگاه اسپکتروفوتومتر سسیل در طول موج ۴۱۲ نانومتر اندازه گیری شد (Nash 1953).

نتایج

خودهی میکروارگانیزم ها با فرمالدیید: پس از حذف اسید استیک از محلول فاضلاب مصنوعی میانگین بازده حذف COD ناشی از فرمالدیید در مرحله خودهی برای غلظت COD ورودی ۵۰۰ میلی گرم بر لیتر در شرایط پایدار ۹۵/۷۷ درصد (انحراف معیار $\pm ۰/۴۴$) بود. این امر نشانه افزایش توانایی جمعیت میکروبی موجود در تطابق با شرایط محیطی انجام مطالعه بود. نتایج این مرحله از مطالعات در شکل ۲ نشان داده شده است.

حذف فرمالدیید و COD در راکتور ناپیوسته متوالی بی هوازی بیوفیلمی: نتایج پایش راکتور بنابر بر شکل ۳ نشان می دهد که به موازات افزایش بار آلی ورودی به راکتور بازده حذف COD و فرمالدیید کاهش یافته است. بیشترین بازده حذف COD در بار آلی معادل COD در بار آلی $0/۵۴ kgCOD/m^3.d$ (انحراف معیار $\pm ۳/۶۵$) و ۹۹ درصد برای فرمالدیید (انحراف معیار $\pm ۳/۳۲$) بوده است. بازده حذف COD تا

kgCOD/m³.d به این دلیل است که علی رغم کاهش بازدهی حذف COD و فرمالدیید بر اساس درصد حذف، به طور کلی بار آلی ورودی و کمیت بار آلی حذف شده نسبت به مراحل پیشین بیشتر بوده است که منجر به متابولیسم باکتریایی بیشتر و در نتیجه تولید بیوگاز بیشتر شده است. از بار آلی kgCOD/m³.d به بالا، هم بازده حذف و هم کمیت بار آلی حذف شده کاهش یافته است که منجر به کاهش بیوگاز تولیدی شده است. این امر نشان می دهد که اثر متابولیسم میکروبی و قابلیت آنزیمی آنها در تطابق با افزایش بار آلی مهمتر از غلظت منبع کربن ورودی می باشد.

تا کنون مطالعات زیادی در مورد حذف فرمالدیید به روش های بی هوایی انجام شده است. پریا و همکاران (۲۰۰۹) حذف فرمالدیید را در یک راکتور بی هوایی بستر ثابت رو به بالا مورد مطالعه قرار دادند. آنها بار آلی ورودی ۰/۱۸ kgCOD/m³.d را اعمال کرده که بازده حذف COD معادل ۲۴ الی ۹۲ درصد بود که تأیید کننده نتایج این پژوهش می باشد (Priya et al. 2009). زیات و همکاران (2009) کارآیی راکتور ASBRR را در حذف فرمالدیید مورد بررسی قرار دادند. بازده حذف فرمالدیید در غلظت های ورودی ۳۱/۶ mg/L الی ۱۱۰/۴ mg/L درصد ۹۰ گرفت. بیشترین حذف فرمالدیید بیش از ۶۶ درصد گزارش شده که اندکی کمتر از مقادیر این پژوهش است ASBRR (Pereira and Zaiat 2009). کاربرد راکتور در تصفیه فاضلاب های شهری و صنعتی نیز بررسی شده است. آرنالده و همکاران (2007) کارآیی راکتور ASBRR را تصفیه فاضلاب های خانگی مورد مطالعه قرار دادند. بازده حذف COD در چرخه واکنش ۵ ساعته ۶۶ درصد بود (Sarti et al. 2007) که علی رغم خانگی بودن فاضلاب مورد تصفیه بسیار کمتر از مقادیر این مطالعه می باشد. این امر ضرورت تنظیم بهینه زمان چرخه ها را نشان می دهد. در مطالعه دیگری لونساردو و همکاران (2007) تأثیر بار آلی و زمان تغذیه راکتور را بر کارآیی ASBRR مطالعه کردند. آنها در مطالعه خود دریافتند که

نظیر اسید استیک و اسید پروپیونیک تولید می شوند که خود آنها بار آلی را بر حسب COD افزایش می دهند (Zhan et al. 2006). مطالعات مشابه نشان می دهد که متانول، اسید فرمیک و برخی اسیدهای آلی دیگر ترکیبات واسطه اصلی تجزیه زیستی فرمالدیید در شرایط بیهوایی هستند (Omil et al. 1999). در ترکیب محلول فرمالدیید مورد استفاده در فاضلاب مصنوعی متانول نیز وجود داشت که با سهولت بیشتری نسبت فرمالدیید به وسیله فلور باکتریایی قرار می گیرد. ولی مطالعات نشان می دهد که متانول و اسیدهای آلی طی فرآیند تجزیه بی هوایی فرمالدیید به عنوان محصول واسطه تولید می شود که در راکتورهای بهره برداری شونده به صورت متوالی طول کافی برای مواجهه تسلیل وار با باکتری ها و تجزیه شدن به وسیله آنها را ندارند. بنابراین در پساب خروجی حضور یافته و به صورت COD خود را نشان می دهد. مقدار بیوگاز تولیدی به طور مستقیم تابعی از میزان ماده غذایی ورودی و متابولیسم میکروبی می باشد (Venkata et al. 2007). نتایج حاصل از این مطالعه نیز این نکته را تأیید می کند. حجم بیوگاز تولیدی بنابر نمودار شکل ۴ به موازات افزایش میزان بار آلی ورودی و به تبع آن افزایش متابولیسم و رشد و تکثیر سلولی یک روند صعودی را طی کرده، اما در مراحل انتهایی، جرم سلولی فعال تا حدودی قابلیت تطابق با غلظت بالای فرمالدیید را از دست می دهد و در نتیجه کارکرد آنزیمی و متابولیک آن مختل شده، کارآیی راکتور نیز کاهش یافته است. به همین دلیل مقداری بار آلی تجزیه نشده در پساب خروجی افزایش یافته که اثر آن را در کاهش حجم بیوگاز تولیدی نیز در مراحل انتهایی مشهود است. بیشترین حجم بیوگاز تولیدی در بار آلی ۴/۹ kgCOD/m³.d میزان بیوگاز به ترتیب ۱۹۰۰ میلی لیتر به دست ۷/۰۹ kgCOD/m³.d ۱/۰۰۹ و ۷/۰۹ kgCOD/m³.d آمد. در بارهای آلی ۱۴۵۰ و ۱۳۸۹ میلی لیتر بود که میزان بیوگاز به ترتیب ۱۴۵۰ و ۱۳۸۹ میلی لیتر بود که کمتر از مرحله هفتم بارگذاری می باشد. شب تند صعودی نمودار شکل ۴ در بار های آلی ۲/۷۹ الی

بگیرد. بیوگاز تولیدی در بار آلی $4/9 \text{ kgCOD/m}^3 \cdot \text{d}$ معادل 1900 mL/d بود. بنابر داده های حاصل از این پژوهش می توان اظهار کرد که راکتور متوالی ناپیوسته بی-هوازی بیوفیلمی، در صورت انجام مطالعات تکمیلی در مقیاس آزمایشگاهی و کامل و استفاده از پساب صنعتی واقعی آلوده به فرمالدیید یک روش کارامد، قابل اطمینان و عملی برای تصفیه پساب های صنعتی به شدت آلوده به فرمالدیید در مقیاس کامل می باشد.

تشکر و قدردانی

این تحقیق با حمایت دانشگاه علوم پزشکی ایران انجام شده است.

هرچه زمان واکنش بیشتر باشد، تجمع اسیدهای آلی کمتر و کارایی راکتور بیشتر است (Leonardo et al. 2007).

نتیجه گیری

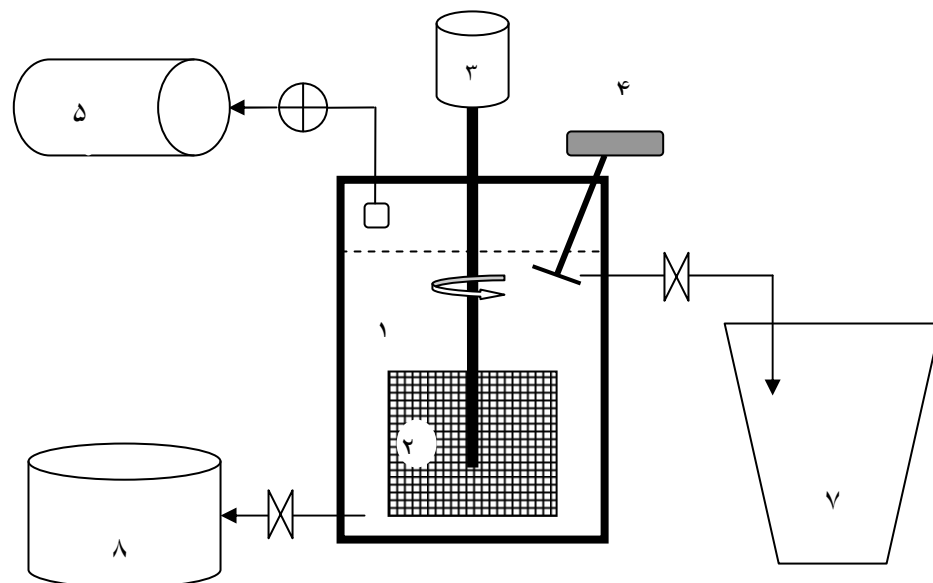
نتایج حاصل از پایش راکتور متوالی ناپیوسته بی-هوازی بیوفیلمی در حذف فرمالدیید از فاضلاب مصنوعی نشان می دهد که این راکتور در کاهش غلظت های بالای فرمالدیید عملکرد خوبی دارد. کارایی راکتور با بار آلی ورودی نسبت معکوس داشته و بازده حذف COD در بار آلی $0/54 \text{ kgCOD/m}^3 \cdot \text{d}$ برابر 94 درصد بود. یک جنبه ی مهم دیگر، بهره برداری از راکتور ASBBR بیوگاز تولیدی است که می تواند مورد استفاده مفید قرار

جدول ۱- ترکیب فاضلاب ساختگی برای COD معادل (mg/L) ۵۰۰۰

ترکیب	مقدار (mg/L)
CH_2O	$12/3 \times 10^3$
$\text{CaCl}_2 \cdot 2\text{H}_2\text{O}$	۱۰
$\text{CoCl}_2 \cdot 6\text{H}_2\text{O}$	۰,۴۶
$\text{FeCl}_3 \cdot 6\text{H}_2\text{O}$	۵۰
KH_2PO_4	۵۰
$\text{FeSO}_4 \cdot 7\text{H}_2\text{O}$	۲۶
NH_4Cl	۳/۷
$\text{MnCl}_2 \cdot 2\text{H}_2\text{O}$	۱/۷
$\text{NiSO}_4 \cdot 6 \text{ H}_2\text{O}$	۳۸
$\text{Na}_2\text{MoO}_4 \cdot 2\text{H}_2\text{O}$	۴۱
H_3BO_3	۱
$\text{CuCl}_2 \cdot 2\text{H}_2\text{O}$	۰,۰۸

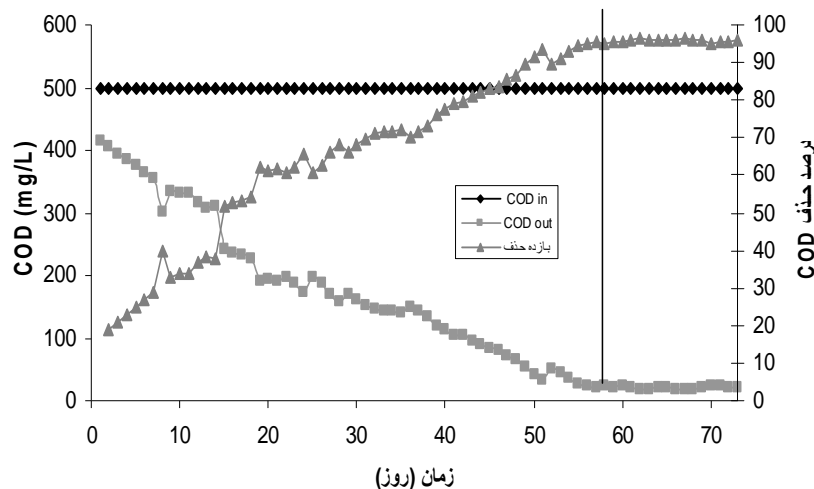
جدول ۲ - میانگین نتایج راهبری راکتور در شرایط پایدار

TSS خرنگی (mg/L)	VSS (mg/L)	فرمالدئید خرنگی (mg/L)	COD خرنگی (mg/L)	COD ورودی (mg/L)	بار آلی (kgCOD/m ³ .d)	مرحله
۱۲	۲۳۹۳	۵	۳۰	۵۰۰	۰/۵۴	۱
۱۳	۲۳۹۹	۱۷	۶۵	۱۰۰۰	۱/۰۹	۲
۲۶	۲۴۵۸	۶۰	۱۳۳/۰	۱۵۰۰	۱/۶۳	۳
۳۲	۲۷۶۳	۱۳۲	۲۸۴	۲۰۰۰	۲/۱۸	۴
۳۹	۲۸۱۲	۲۷۵	۵۵۵	۲۵۰۰	۲/۷۲	۵
۴۲	۲۷۹۶	۴۹۰	۸۵۰/۰	۳۵۰۰	۳/۸۱	۶
۵۳	۲۹۰۳	۸۱۰	۱۶۲۰	۴۵۰۰	۴/۹	۷
۶۹	۲۷۹۶	۱۵۴۵/۰	۲۱۴۵	۵۵۰۰	۶/۰۰۱	۸
۱۰۳	۲۷۷۸	۲۳۹۸/۰	۳۳۸۰	۶۵۰۰	۷/۰۹	۹

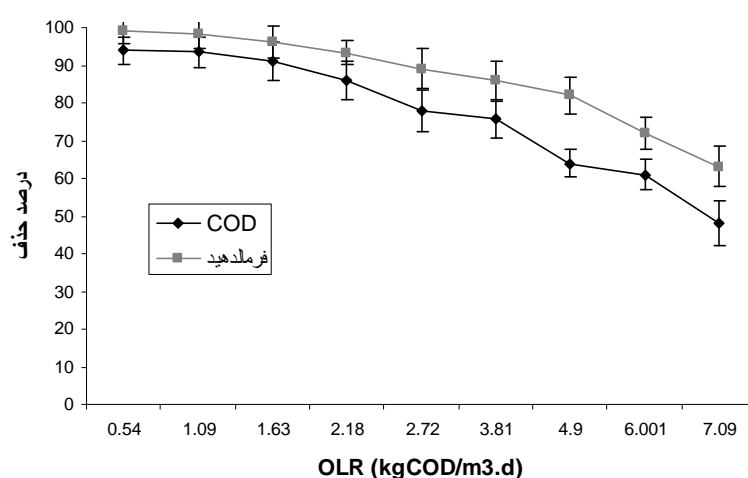


شکل ۱- راکتور ناپیوسته متوالی بی هوازی بیوفیلمی

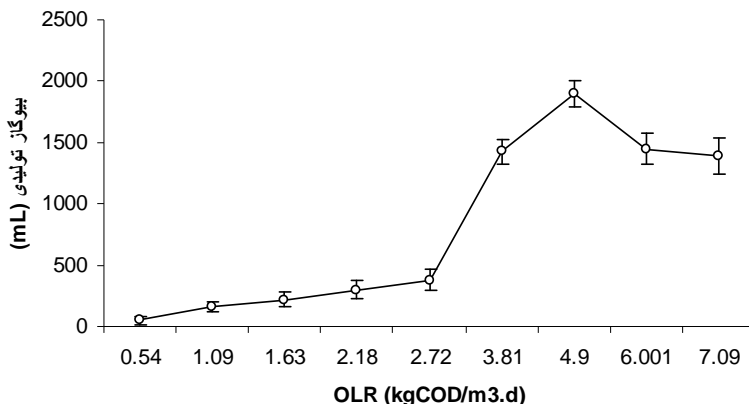
(۱) راکتور ASBRR، (۲) بستر ثابت رشد میکروبی، (۳) موتور محرک چرخنده شفت، (۴) موتور و پروانه همزن، (۵) تجهیزات جمع آوری گاز شامل حسگر، پمپ، شیر تخلیه و مخزن گاز، (۶) مخزن پساب، (۷) مخزن لجن



شکل ۲- بازده حذف COD در مرحله خودهی میکرووارگانیزم ها با فرمالدید



شکل ۳- بازده حذف COD و فرمالدید در بارگذاری آبی مختلف



شکل ۴- حجم گاز تولیدی در بارگذاری آلی مختلف

References

- APHA., 2005. *Standard Methods for the Examination of Water & Wastewater.* 21Th Edition. American Public Health Association, New York, USA.
- Eiroa, M., Vilar, A., Amor, L., Kennes, C and Veiga, M.C., 2005. Biodegradation and effect of formaldehyde and phenol on the denitrification process. *Water Res.*, 39(2-3), pp.449–455.
- Gonzalez-Gil, G., Kleerbezem, R., van Alest, A., Zoutberg, G.R., A.I. Versprille, A.I. and Lettinga, G., 1999. Toxicity effects of formaldehyde on methanol degrading sludge and its anaerobic conversion in biobed expanded granular sludge bed (EGSB) reactors. *Water Sci. Technol.*, 40, pp.195–202.
- Gonzalez, O., Esplugas, M., Sans, C., Torres, A. and Esplugas, S., 2009. Performance of a Sequencing Batch Biofilm Reactor for the treatment of pre-oxidized Sulfamethoxazole solutions. *Water research*, 43(8), pp.2149-2158.
- Lars-Flemming, P., Per Bovbjerg, P. and Sortkjær, O., 2007. Temperature dependent and surface specific formaldehyde degradation in submerged biofilters. *Aquacultural Engineering*, 36(2), pp. 127–136.
- Leonardo, H.S., Damasceno, J., Rodriguesb, A.D., Suzana, M., Zaiata, M. and Eugenio, F., 2007. Effects of feeding time and organic loading in an anaerobic sequencing batch biofilm reactor (ASBBR) treating diluted whey. *Journal of Environmental Management*, 85(4), pp. 927–935.
- Moteleb, M.A., Suidan, M.T., Kim, J. and Maloney, S.W., 2002. Perturbed loading of a formaldehyde waste in an anaerobic granular activated carbon fluidized bed reactor. *Water Res.*, 36(15), pp.3775–3785.
- Moustafa, A.M., Suidan, T.M., Kim, J. and Maloney, S.W., 2002. Perturbed loading of a formaldehyde waste in an anaerobic granular activated carbon fluidized bed reactor. *Water Res.*, 36(15), pp.3775–3785.
- Nash, T., 1953. The colorimetric estimation of formaldehyde by means of the Hantzsch reaction. *Biochemistry Journal*, 55, pp.416–421.
- Pereira, N.S. and Zaiat, M., 2009. Degradation of formaldehyde in anaerobic sequencing batch biofilm reactor

- (ASBBR). *Journal of Hazardous Materials*, **163**(2-3), pp.777–782.
- Prado, O.J., Veiga, M.C. and Kennes, C., 2006. Effect of key parameters on the removal of formaldehyde and methanol in gas-phase biotrickling filters. *Journal of Hazardous Materials*, **38**(3), pp.543–548.
- Priya, K., Sandhya, S. and Swaminathan, K., 2009. Kinetic analysis of treatment of formaldehyde containing wastewater in UAFB reactor. *Chemical Engineering Journal*, **148**(2-3), pp.212–216.
- Oliveira, A.V., Moraes, E.M., Adorno, M.A., Varesche, M.B., Foresti, E. and Zaiat, M., 2004. Formaldehyde degradation in an anaerobic packed-bed bioreactor. *Water Res*, **38**(7), 1685–1694.
- Omil, F., Mendez, D., Vidal, G., Mendez, R and Lema J., 1999. Biodegradation of formaldehyde under anaerobic conditions. *Enzyme and Microbial Technology*, **24**, pp.255–262.
- Sarti, A., Garcia, M.G., Zaiat, M. and Foresti, E., 2007. Domestic sewage treatment in a pilot-scale anaerobic sequencing batch biofilm reactor (ASBBR). *Resources, Conservation and Recycling*, **51**(1), pp.237–247.
- Venkata, S., Mohan, G., Mohanakrishna, S., Veer Raghavulu, P.N. and Sarma, S., 2007. Enhancing biohydrogen production from chemicalwastewater treatment in anaerobic sequencing batch biofilm reactor (AnSBBR) by bioaugmenting with selectively enriched kanamycin resistant anaerobic mixed consortia. *International Journal of Hydrogen Energy*, **32**(15), pp.3284 – 3292.
- Vidal, G., Jiang, Z.P., Omil, F., Thalasso, F., Mendez, R. and Lema, J.M., 1999. Continuous anaerobic treatment of waste water containing formaldehyde and urea. *Bioresour. Technol*, **70** (3), pp.283–291.
- Zhan, X., Rodgers, M. and O'Reilly, E., 2006. Biofilm growth and characteristics in an alternating pumped sequencing batch biofilm reactor (APSBBR). *Water research*, **40**(4), pp.817–825.